#### А. А. БРЫНЗА (ДИИТ)

# К ВОПРОСУ О ВЫЯВЛЕНИИ ТРЕЩИН В ТРАНСПОРТНЫХ КОНСТРУКЦИЯХ

Исследуется влияние усталостной трещины на динамические характеристики транспортной конструкции с помощью математической модели, построенной с использованием обобщенных функций.

Ключевые слова: усталостная трещина, упругий шарнир, обобщенные функции

Усталостная трещина является одним из наиболее распространенных видов повреждений, возникающих в процессе эксплуатации транспортных конструкций. Основное направление исследований по динамике конструкций с трещинами связано с идентификацией трещин и их локализацией по изменению динамических характеристик конструкции по сравнению с цельной конструкцией. В работе [1] на примере опертой балки показано, что наличие в конструкции трещины и ее местоположение легче обнаружить путем прикрепления небольшой дополнительной сосредоточенной массы, за счет чего происходит более существенное изменение частот и форм колебаний. В данной работе эта задача решается аналитически с помощью обобщенных функций.

Одной из математических моделей усталостной трещины в стержневых конструкциях есть представление ее в виде упругого шарнира [2, 3]. На рис. 1,а приведена балка с трещиной. Здесь  $x_{\rm T}$  — координата расположения трещины; L — длина балки; h — высота балки, а  $h_{\rm T}$  — глубина трещины.

На рис. 1,  $\delta$  приведена физическая модель балки с трещиной. Она моделируется двумя стержневыми сегментами, соединенными между собой устройством в виде упругого шарнира, препятствующего повороту сегментов относительно друг друга. Жесткость упругого шарнира  $k_{\rm T}$  равна величине момента M, который необходимо приложить к соединительному устройству, чтобы угол поворота сегментов балки относительно друг друга был равен единице.

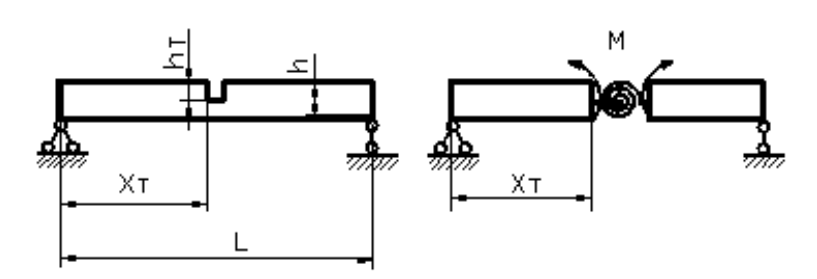


Рис. 1. a) — расположение трещины  $\delta$ ) — физическая модель балки с трещиной

Жесткость упругого шарнира в работе находится численно с помощью конечно-элементной модели балки с трещиной. Трещина моделируется поперечным разрезом определенной глубины. Изменение угла поворота сечений по обе стороны от трещины ( $\Delta\theta$ ) в зависимости от глубины трещины ( $h_{\rm T}$ ), в виду его малости, определяется как отношение разницы  $\Delta_x$  горизонтальных перемещений верхних узлов конечно-элементной модели балки по обе стороны разреза к высоте поперечного сечения ( $\Delta\theta = \Delta_x/h$ ). Тогда жесткость упругого шарнира  $k_{\rm T} = M/\Delta\theta$ .

В качестве примера рассматривается шарнирно-опертая коробчатая балка сечением  $40\times80$  мм с толщиной стенки 2 мм. Длина — 3.9 м, а погонная масса — 3.62 кг/м [1].

На рис. 2 приведен график изменения жесткости упругого шарнира, деленной на изгибную жесткость балки ( $k_{\rm T}/EI$ ), в зависимости от относительной глубины трещины ( $\Gamma = h_{\rm T}/h$ ), полученный с помощью конечно-элементной модели. Необходимо отметить, что коэффициент жесткости упругого шарнира не зависит от местоположения трещины и способа закрепления концов балки.

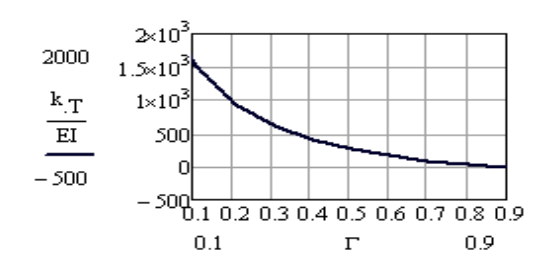


Рис. 2. График изменения жесткости упругого шарнира

Решение этой задачи находим с помощью применения обобщенных функций. Рассмотрим свободные колебания балки несущей сосредоточенную массу при наличии трещины. Пусть трещина находится в сечении  $x=x_{\rm T}$ , а сосредоточенная масса M в сечении  $x=x_{\rm M}$ . Дифференциальное уравнение форм собственных колебаний имеет следующий вид

$$[EI(x)X_k"]" - m(x)v_k^2 X_k = 0,$$
 (1)

где  $m(x) = m_0 + M \sigma_1(x - x_M)$ , а  $\sigma_1(x - x_M)$  – импульсивная функция первого порядка или  $\delta$  - функция Дирака.

Заменим уравнение (1) системой следующих уравнений [4]

$$X_k " = \frac{I_0}{I(x)} z, \quad EI_0 z_k " = m(x) v_k^2 X_k,$$
 (2)

где  $z = -\frac{M(x)}{EI_0}$  — «масштабированный» изги-

бающий момент.

В общем случае, перемещение  $X_k(x)$  может быть представлено в виде

$$X_{k}(x) = X_{k}^{*} + \Delta X_{k}'(x_{T})(x - x_{T})\sigma_{0}(x - x_{T}), \qquad (3)$$

где  $X_k^*$ - некоторая функция, имеющая непрерывную первую производную по x;  $\Delta X_k$ ' $(x_T) = X'(x_T+0) - X'(x_T-0)$  — взаимный угол поворота сечений слева и справа от трещины (упругого шарнира), а

$$\Delta X_k'(x-x_T)\sigma_0(x-x_T) = \begin{cases} \Delta X'(x-x_T) & npu \quad x > x_T \\ 0 & npu \quad x \le x_T \end{cases}.$$

Тогда  $X_k(x)$  есть непрерывная в сечении  $x = x_T$  функция. Дифференцируя соотношение (3) дважды по x, получаем

$$X_{k}^{"} = X_{k}^{*} " + \Delta X_{k}^{"} (x_{T}) \sigma_{1} (x - x_{T}).$$

Подставляя это выражение в равенство (2), находим

$$\frac{I_0}{I(x)} = \frac{X_k^*"}{z} + \frac{1}{z} \Delta X_k'(x_T) \sigma_1(x - x_T).$$

При  $x \neq x_T$   $I(x) = I_0$ , поэтому  $\frac{X_k^*}{z} = 1$ . В

силу непрерывности z в точке  $x=x_T$  и на основании фильтрующего свойства  $\delta$ -функция Дирака

$$\frac{\sigma_1(x-x_T)}{z(x)} = \frac{\sigma_1(x-x_T)}{z(x_T)}.$$

Ho

$$\frac{\Delta X_k'(x_T)}{z(x_T)} = \frac{EI_0}{k_T},$$

где  $k_T$  – жесткость упругого шарнира моделирующего трещину. Поэтому

$$EI(x) = EI_0 \left[ 1 + \frac{EI_0}{k_T} \sigma_1 (x - x_T) \right]^{-1}.$$
 (4)

Таким образом, изгибная жесткость равна  $EI_0$  всюду, кроме сечения  $x=x_T$ . В этом сечении она имеет сосредоточенное включение определяемые выражением (4). На основании уравнения (2)

$$X_k " = \left[1 + \frac{EI_0}{k_T} \sigma_1 (x - x_T)\right] z,$$

или, в силу непрерывности z в сечении  $x = x_T$ 

$$X_k$$
" =  $z + \frac{EI_0}{k_T} z(x_T) \sigma_1(x - x_T)$ .

Дифференцируя дважды это соотношение и подставляя на основании второго уравнения (2)

$$z'' = \frac{\mathbf{v}_k^2}{EI_0} (m_0 + M\sigma_1(x - x_M)) X_k(x)$$

получаем дифференциальное уравнение форм свободных колебаний балки несущей сосредоточенную массу при наличии трещины

$$X_{k}^{IV} - k_{k}^{4} X_{k} =$$

$$= \frac{M v_{k}^{2}}{E I_{0}} X_{k}(x_{M}) \sigma_{1}(x - x_{M}) +$$

$$+ \Delta X_{k}'(x_{T}) \sigma_{3}(x - x_{T}),$$
(5)

где 
$$k_k^4 = \frac{m_0 v_k^2}{E I_0}$$
, а  $\sigma_3(x - x_T)$  – импульсивная

функция третьего порядка.

Решение уравнения (5) находится с помощью преобразования Лапласа.

Рассмотрим шарнирно-опертую балку. Будем полагать, что сосредоточенная масса находится справа от трещины  $(x_T < x_M)$ . Исключив промежуточные параметры, получим выражение  $X_k(x)$ , которое будет иметь разрыв непрерывности І-го рода только при  $x=x_T$ .

Для составления характеристического уравнения используем граничные условия на правом конце балки  $X_k(L) = X_k^"(L) = 0$ .

В качестве проверки приведенной математической модели балки с сосредоточенной массой, рассмотрим случай, когда сосредоточенная масса расположена на середине длины, а погонная масса балки уменьшается на 5 порядков,

т.е. принимается практически равной нулю. Изгибная жесткость балки при этом остается без изменений. В этом случае балка превращается в систему с одной степенью свободы. Частота колебаний балки в этом случае лишь на 0,2 % отличается от решения, найденного для системы с 1-й степенью свободы.

В табл. 1 приведены круговые частоты колебаний балки с трещиной различной относительной глубины при отсутствии сосредоточенной массы. Здесь  $\ell_T = x_T / \ell$  — относительная координата трещины, а  $\Gamma$  — ее относительная глубина. При  $\Gamma$ =0,01 трещина была на толщину коробчатой балки. В табл. 2 приведены низшие частоты балки с трещиной относительной глубины  $\Gamma$ =0,333 и с дополнительной массой равной 5 % от массы балки, при различных положениях трещины и дополнительной массы.

Таблица 1 Круговые частоты колебаний балки с трещиной при отсутствии сосредоточенной массы

№ частот	Балка без трещины	Балка с трещиной							
		$\ell_T = 0,25$ $\Gamma$				$\ell_T = 0,5$			
						Γ			
		0,01	0,31	0,51	0,7	0,01	0.31	0,51	0,7
1	17,73	17,73	17,72	17,72	17,7	17,73	17,73	17,72	17,68
2	70,92	70,92	70,88	70,83	70,67	70,92	70,92	70,92	70,92
3	159,6	159,6	159,5	159,4	158,9	159,7	160,6	162,1	168
4	283,7	283,7	283,7	283,7	283,7	283,7	283,7	283,7	283,7

Таблица 2 Низшие частоты балки с трещиной при различных положениях трещины и дополнительной массы

№	Нет	Балка с трещиной ( $\Gamma$ =0,31 ) и дополнительной массой ( $M=0,05mL$ )								
ча- стот	трещины, нет массы	Нет трещины, есть масса		Есть трещина, нет массы		Есть трещина, есть масса				
		$\ell_M = 0,25$	$\ell_M = 0,5$	$\ell_T = 0,25$	$\ell_T = 0,5$	$\ell_T = 0.25$	$\ell_T = 0,25$	$\ell_T = 0,5$	$\ell_T = 0,5$	
						$\ell_M = 0,25$	$\ell_M = 0,5$	$\ell_M = 0,5$	$\ell_T = 0.5$ $\ell_M = 0.75$	
1	17,73	17,17	16,91	17,72	17,73	17,17	16,9	16,9	17,32	
2	70,92	68,08	70,9	70,88	70,92	68,04	70,87	70,9	67,75	
3	159,6	158,9	152,7	159,5	160,6	158,8	152,7	153,7	155,6	
4	283,7	279,3	283,5	283,7	283,7	279,4	283,3	283,2	288,4	

Из полученных результатов можно сделать следующие выводы:

- 1. Изменение частот и форм колебаний конструкции зависит от местоположения трещины. При малых трещинах частоты и формы колебаний изменяются незначительно. Если трещина находится в «пучности» колебаний, то соответствующая частота и форма колебаний изменяются на «максимальную» для данного размера дефекта величину. Нахождение трещины в «узле» колебаний не приводит к изменению соответствующей частоты и формы колебаний.
- 2. Наличие сосредоточенной массы на конструкции более заметно изменяет частоты и формы колебаний.
- 3. При наличии на конструкции с малой трещиной дополнительной сосредоточенной массы, изменение частот и форм колебаний происходит в основном за счет влияния дополнительной массы. При средней или большой трещине наличие даже небольшой дополнительной массы заметно изменяет частоты и формы собственных колебаний по сравнению с частотами колебаний балки с такой же дополнительной массой, но без трещины. Причем чем ближе дополнительная масса к трещине, тем большие наблюдается изменения.

4. На основе сопоставления линий влияния дополнительной массы на динамические характеристики конструкции, определенные при введении ее в эксплуатацию и при исследовании технического состояния, можно более достоверно определить трещину и ее месторасположение [1].

## СПИСОК ИСПОЛЬЗОВАННЫХ ИСТОЧНИКОВ

- 1. Редченко, В. П., Дослідження проблеми виявлення дефектів мостів методами вібродіагностики [Текст] / В. П. Редченко, Ю. В. Крючков, Т. В. Редченко. Д., 2011.
- Бересневич, В. И. Сопоставительный анализ математических моделей усталостной трещины [Текст] / В. И. Бересневич // Вестник научнотехнического развития, НТГ, № 12(28). 2009. С. 12–18.
- Bamnios, Y. Identification of cracks in single and double – cracked beams using mechanical impedance [Terct] /Y. Bamnios, E. Douka, A. Trochidis // Proc.X Intern. Congress on sound and vibration, 2003, Stockholm, Sweden. – P. 1267–1274.
- 4. Лазарян, В. А., Обобщенные функции в задачах механіки [Текст] / В. А. Лазарян, С. И. Конашенко. К., Наук. думка, 1974. С. 190.

Поступила в редколлегию 09.07.2012. Принята к печати 23.07.2012.

#### А. А. БРИНЗА (ДІІТ)

### ДО ПИТАННЯ ПРО ВИЯВЛЕННЯ ТРІЩИН У ТРАНСПОРТНИХ КОНСТРУКЦІЯ

Досліджується вплив втомної тріщини на динамічні характеристики транспортної конструкції за допомогою математичної моделі, побудованої з використанням узагальнених функцій.

Ключові слова: втомна тріщина, пружний шарнір, узагальнені функції

A. A. BRINZA (Dniepropetrovsk National University of Railway Transport)

#### ON THE VEHICLE IDENTIFICATION OF CRACKS IN STRUCTURES

The effect of fatigue cracks on the dynamic characteristics of the transport structure through a mathematical model constructed by using generalized functions.

Keywords: fatigue crack, the elastic hinge distributions